

سترنر پلیمر قالب مولکولی گزینش‌پذیر و کاربرد آن در استخراج فولیک اسید

سید محمد رضا میلانی حسینی*[†]، بیتا یاراحمدی، نصیبیه سعیدزاده امیری

دانشکده شیمی، دانشگاه علم و صنعت ایران، تهران، ایران

چکیده: هدف از این پژوهش سترنر پلیمر قالب مولکولی فولیک اسید برای شناسایی و اندازه‌گیری سریع و آسان فولیک اسید با استفاده از دستگاه فلورسانس می‌باشد. در سترنر پلیمر قالب مولکولی برای افزایش استحکام و پایداری پلیمر، مقادیرهای نسبت‌های مولی مونومر عاملی، اتصال دهنده عرضی و حلال مورد استفاده باید بهینه شوند. برای سترنر پلیمر از مونومر عاملی آکریل آمید، اتصال دهنده عرضی اتیلن گلیکول دی‌متا‌آکریلات و مولکول الگوی فولیک اسید استفاده شد و نسبت‌های مولی بهینه مونومر عاملی، اتصال دهنده عرضی و حلال با استفاده از دستگاه فلورسانس به دست آمدند. این مواد با محلول سل-ژل به دست آمده از افزودن تتراتیل اوتوسیلیکات، اتانول، اسید کلریدریک و آب مخلوط شد. پلیمریزاسیون به روش سل-ژل سبب تشکیل شبکه سه بعدی پلیمری در کمترین زمان و بدون نیاز به اعمال دما و فشار بالا شد. از جمله برتری‌های این پلیمر، توانایی در اندازه‌گیری دقیق فولیک اسید که یک ترکیب زیستی مهم برای سلامت انسان می‌باشد، تکرار پذیری زیاد، قابلیت استفاده مجلد، سهولت سترنر، مقرون به صرفه بودن و عدم ایجاد آلودگی برای محیط زیست می‌باشد. پلیمر قالب گیری شده برای استخراج فولیک اسید از درون نمونه حقیقی محلول قرص فولیک اسید در حلال دی‌متیل فرم آمید مورد استفاده قرار گرفت. تصویرهای میکروسکوپ الکترونی رو بشی پلیمر پیش و پس از شست و شو توسط حلال بهینه، منحنی استاندارد و ظرفیت جذب پلیمر نیز بررسی شدند. مطابق نتیجه‌ها در سترنر پلیمر فولیک اسید، نسبت‌های مولی بهینه مولکول الگو، مونومر عاملی و اتصال دهنده عرضی ۲۰:۶:۶ به دست آمد. با استفاده از تصویرهای میکروسکوپ الکترونی رو بشی پس از شست و شو پلیمر، به دلیل خروج مولکول‌های فولیک اسید از درون شبکه آن، حفره‌ها با اندازه‌های ۱۴۰-۲۸۵ nm در پلیمر ایجاد شد.

واژگان کلیدی: پلیمر قالب مولکولی، فولیک اسید، نانو متخلخل، سل-ژل.

KEYWORDS: Molecular Imprinted Polymer, Folic Acid, Nano porous, Sol-Gel.

مقدمه

فولیک اسید^۱ نوعی از فولات یا همان ویتامین ب است. فولات در میوه‌ها، سبزی‌ها و آجیل‌ها به طور طبیعی یافت می‌شود. اما فولیک اسید در مکمل‌ها و غذاهای غنی شده یافت می‌شود. فولیک

+Email: drmilani@just.ac.ir

(۱) Folic acid

* عهده‌دار مکاتبات

موجود در نان غنی شده در بازه غلظت‌های 1 mg/Kg - $10\text{ }\mu\text{g/ml}$ شدند [۱۰]. یکی دیگر از روش‌های پرکاربرد برای اندازه‌گیری و شناسایی فولیک‌اسید، روش فلورسانس می‌باشد. روش فلورسانس به این علت کاربرد فراوانی در اندازه‌گیری فولیک‌اسید دارد که با استفاده از این دستگاه، فولیک‌اسید در طول موج 448 nm یک جذب قوی از خود نشان می‌دهد که برای اندازه‌گیری و شناسایی فولیک‌اسید به کار می‌رود. به عنوان مثال در سال 2020 میلادی چیاعولی^۹ و همکارانش نانوحسگری برای اندازه‌گیری فولیک‌اسید با استفاده از دستگاه فلورسانس طراحی کردند و موفق شدند فولیک‌اسید را در بازه غلظتی $0\text{--}100\text{ }\mu\text{g/ml}$ و $265\text{--}374\text{ }\mu\text{g/ml}$ با حد تشخیص $M_{48}\text{ nM}$ مواد قابل اندازه‌گیری کنند [۱۱]. پلیمرهای قالب مولکولی^{۱۰} مواد اطمینانی هستند که اخیراً به طور گسترده به عنوان عنصر تشخیص مورد استفاده قرار گرفته‌اند. پلیمرهای قالب مولکولی یک پلیمر سه بعدی و حاصل پلیمریزاسیون مونومرهای عاملی در حضور مولکول‌های نمونه می‌باشد که به دلیل وجود مکان‌های شناسایی درون شبکه پلیمری، دارای ویژگی‌های تشخیص مولکولی گزینشی می‌باشد. مونومر عاملی^{۱۱} از لحاظ اندازه، شکل و جهت‌گیری گروه‌های عاملی مکمل مولکول نمونه هستند [۱۲]. در مقایسه با سایر سامانه‌های تشخیص، پلیمرهای قالب مولکولی دارای ویژگی‌های امیدوارکننده از قبیل هزینه کم، سنتز آسان، پایداری در محیط‌های اسیدی و بازی، تحمل دماهای بالا و پایین و قابلیت استفاده مجدد می‌باشند [۱۳]. با توجه به اهمیت زیستی ترکیب فولیک‌اسید در مطالعه‌های پژوهش روشنی سریع و دقیق برای انسان، در این پژوهش روشی سریع و دقیق برای رفع مشکل اندازه‌گیری فولیک‌اسید ارایه شده است. در این پژوهش قالب‌گیری مولکولی فولیک‌اسید به روش سل-ژل و بهینه‌سازی نسبت‌های مولی مونومر عاملی و اتصال دهنده عرضی^{۱۲} انجام شد و پلیمر سنتز شده برای اندازه‌گیری فولیک‌اسید موجود در نمونه قرص مورد استفاده گرفت. یکی از برتری‌های پلیمر تهیه شده، قابلیت استفاده مجدد آن است و پلیمر سنتز شده مقرون به صرفه است. مطابق نتیجه‌ها پلیمر سنتز شده توانایی بالایی در اندازه‌گیری فولیک‌اسید از خود نشان داد و به این ترتیب با استفاده از روش قالب‌گیری کم خونی ایجاد می‌شود. کم خونی زمانی اتفاق می‌افتد که خون نمی‌تواند به اندازه کافی اکسیژن را در بدن حمل کند [۱]. این بیماری باعث خستگی یا ضعف می‌شود. فولیک‌اسید از بدن جنین در برابر نقاچیں جدی مادرزادی محافظت می‌کند. زنان باردار باید $400\text{ }\mu\text{g}$ فولیک‌اسید مصرف کنند. زنان باردار باید $800\text{ }\mu\text{g}$ از این ماده را از روش مولتی ویتامین‌ها یا مواد غذایی دریافت کنند. این میزان علاوه بر فواید احتیاجی است که به طور طبیعی از غذا دریافت می‌کنید [۲]. با توجه به اهمیت فراوان فولیک‌اسید در سلامت بدن پژوهشگران در پی یافتن روشی برای اندازه‌گیری سریع و آسان مقدار فولیک‌اسید هستند و تعیین فولیک‌اسید به علت نیاز به شناسایی و اندازه‌گیری کمی آن در مطالعه‌های بالینی به طور گسترده مورد مطالعه قرار گرفته است. روش‌های تجزیه‌ای متفاوتی از قبیل فلورسانس^۱، اسپکتروفوتومتری^۲، میکرواستخراج^۳، الکتروشیمیایی^۴ و کروماتوگرافی^۵ برای اندازه‌گیری فولیک‌اسید گزارش شده است. روش اسپکتروسکوپی یکی از روش‌های مورد استفاده برای اندازه‌گیری کمی داروها و مواد زیستی می‌باشد. برای مثال در سال 2014 میلادی ماتیاس^۶ و همکارانش فولیک‌اسید موجود در نمونه دارو را با استفاده از روش اسپکتروسکوپی^۷ مرئی - فرابنفش در بازه غلظتی $0\text{--}5\text{ }\mu\text{g/ml}$ از $1/17$ اندازه‌گیری کردد [۸]. روش‌های الکتروشیمیایی نیز در اندازه‌گیری داروها به دلیل حد تشخیص پایین $2017\text{ }\mu\text{g/ml}$ در صفت ویژه‌ای برخوردار می‌باشند. برای مثال در سال 2017 میلادی دارمندرا^۸ و همکارانش با استفاده از الکترود کربن اصلاح شده با نانوذره‌های طلا و با استفاده از روش ولتاوری موفق به اندازه‌گیری همزمان آسکوربیک‌اسید، اوره و فولیک‌اسید شدند [۹]. در صفت دارویی یکی از روش‌های پرکاربرد در اندازه‌گیری داروها، روش کروماتوگرافی مایع با عملکرد بالا می‌باشد و پژوهش‌های زیادی در این زمینه انجام شده مثلاً در سال 1392 محمد فرجی و همکارانش پس از پیش تقلیل فولیک‌اسید با استفاده از روش‌های استخراج فاز جامد، استخراج با نانوذره‌های مغناطیسی و میکرواستخراج با فیبرهای توخالی و با استفاده از دستگاه کروماتوگرافی مایع با عملکرد بالا موفق به اندازه‌گیری فولیک‌اسید

(۱) Fluorescence Method

(۲) Spectrophotometry

(۳) Solid Phase Micro Extraction

(۴) Electrochemical Methods

(۵) Chromatography

(۶) Matias

(۷) UV-Visible

(۸) Dharmendra

(۹) ChuyaoLi

(۱۰) Molecularly Imprinted Polymers

(۱۱) Functional Monomer

(۱۲) Cross Linker

ستتر پلیمر قالب مولکولی فولیک اسید

واکنش پلیمریزاسیون با مکانیزم سل-ژل^۳ صورت گرفت و برای آغاز واکنش‌ها در یک ظرف شیشه‌ای ۵۰ میلی‌لیتری درپوش دار، ۱ میلی‌لیتر تتراتیل ارتو سیلیکات، ۱ میلی‌لیتر اتانول، ۰/۰۶ میلی‌لیتر آب و ۰/۰۶ میلی‌لیتر اسید کلریدریک ۱/۰ مولار را مخلوط کرد (pH محلول ۴/۰ تنظیم شد). سپس مقدار ۱/۰ میلی‌گرم آکریل آمید (مونومر عاملی)، ۱۰۰ میلی‌گرم اتیلن گلیکول دی‌متا‌آکریلات (اتصال دهنده عرضی) و ۱/۸ میلی‌گرم ۲-آزوپیس-۲-ایزوبوتیرونیتریل به محلول اضافه شد تا واکنش پلیمریزاسیون آغاز شود. پس از آن محلول به مدت ۱ ساعت توسط همزن مغناطیسی با دور همزن ۸۰۰ دور بر دقیقه در دمای ۵۰ درجه سلسیوس همگن شد. پس از اتمام ۱ ساعت، ۰/۲ میلی‌گرم فولیک اسید حل شده در ۴ میلی‌لیتر دی‌متیل فرم‌آمید، ۰/۲ گرم ستیل تری‌متیل آمونیوم بروماید و ۳ میلی‌لیتر اتانول به محلول افزوده و محلول به مدت ۳ ساعت توسط همزن مغناطیسی با دور همزن ۸۰۰ دور بر دقیقه در دمای اتاق همzedه شد. ستتر پلیمر قالب دار نشده^۴ نیز دقیقاً به همین روش ولی بدون حضور مولکول هدف (فولیک اسید) انجام پذیرفت [۱۴].

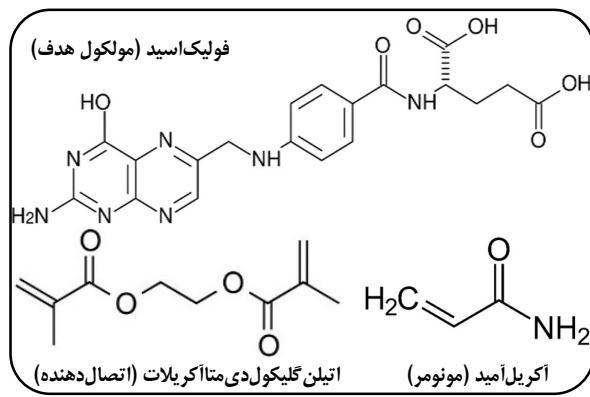
تصویرهای میکروسکوپ الکترونی رو بشی پلیمر قالب مولکولی تهیه شده پیش و پس از شستشو
ریخت‌شناصی پلیمر قالب مولکولی تهیه شده پیش و پس از شستشو توسط حلال مناسب با استفاده از میکروسکوپ الکترونی رو بشی مورد بررسی قرار گرفت و تصویر پلیمر پیش و پس از شستشو توسط حلال مناسب با یکدیگر مقایسه شدند.

بهینه‌سازی نسبت مولی اتصال دهنده عرضی در ستتر پلیمر
به منظور بهینه‌سازی نسبت مولی اتصال دهنده عرضی در ستتر پلیمر، مطابق جدول ۱ مقدارهای فولیک اسید و مونومر عاملی آکریل آمید با نسبت‌های مولی ۱:۶ ثابت نگه داشته شد و مقدار اتصال دهنده عرضی اتیلن گلیکول دی‌متا‌آکریلات تغییر داده شد.

بهینه‌سازی نسبت مولی مونومر عاملی در ستتر پلیمر
به منظور بهینه‌سازی نسبت مولی مونومر عاملی در ستتر پلیمر، مطابق جدول ۲ مقدارهای فولیک اسید و اتیلن گلیکول دی‌متا‌آکریلات

(۱) 2,2,Azobis isobutyronitrile

(۲) Sol-Gel



شکل ۱ - ساختار گستردۀ مواد اولیه واکنش

مولکولی فولیک اسید، می‌توان مقدار فولیک اسید را در نمونه‌های زیستی و داروها به سرعت، با دقت و با هزینه کم تعیین کرد.

بخش تجربی مواد

فولیک اسید با درصد خلوص ۹۹/۹۹٪ از شرکت داروسازی فارابی واقع در شهر تهران خریداری و استفاده شد. ترکیب ۲-۲-۲-آزوپیس ایزوبوتیرونیتریل^۱ از شرکت سیگما-آلریچ خریداری شد. ترکیب‌های اتیلن گلیکول دی‌متا‌آکریلات، آکریل آمید، حلال دی‌متیل فرم‌آمید، تتراتوکسی ارتو سیلیکات^۲ اسید کلریدریک، آمونیوم‌هیدروکسید، ستیل تری‌متیل آمونیوم بروماید و هم چین سایر معرف‌ها، حلال‌ها و ترکیب‌های مورد استفاده در این پژوهش از شرکت مرک خریداری شدند. قرص فولیک اسید ۵ میلی‌گرمی از داروخانه فدک در منطقه شهریار استان تهران خریداری و به عنوان نمونه حقیقی استفاده شد. ساختار گستردۀ مواد اولیه اصلی واکنش در شکل ۱ آمده است.

دستگاه‌ها و روش‌ها

برای همزندن محلول‌ها از هیتر-همزن مدل MR3003 control استفاده شد. برای تنظیم pH از دستگاه CORNING 140 استفاده شد. ریخت‌شناصی حسگر تهیه شده پیش و پس از شستشو با حلال مناسب، با استفاده از میکروسکوپ الکترونی رو بشی Hitachi S-4160 بررسی شد. اندازه‌گیری‌های فولیک اسید با استفاده از دستگاه فلورسانس مدل FL6500 Fluorescence انجام شد.

(۲) Tetraethoxysilane

(۴) Non-Imprinted Polymers

جدول ۱ - بهینه‌سازی نسبت مولی اتصال دهنده عرضی در سنتز پلیمر

نسبت مولی کل	جذب	نسبت مولی اتصال دهنده عرضی (mmol)	نسبت مولی مونومر عاملی (mmol)	نسبت مولی فولیک اسید (mmol)
۱۶:۱۰	۰/۰۶۰۰	۰/۰۲۰۱	۰/۰۱۲۰	۰/۰۰۲۲
۱۶:۱۲	۰/۰۵۰۰	۰/۰۲۴۱	۰/۰۱۲۰	۰/۰۰۲۲
۱۶:۱۴	۰/۰۸۰۰	۰/۰۲۸۱	۰/۰۱۲۰	۰/۰۰۲۲
۱۶:۱۶	۰/۰۷۰۰	۰/۰۳۲۲	۰/۰۱۲۰	۰/۰۰۲۲
۱۶:۱۸	۰/۱۵۰۰	۰/۰۴۶۲	۰/۰۱۲۰	۰/۰۰۲۲
۱۶:۲۰	۰/۱۸۰۰	۰/۰۴۰۲	۰/۰۱۲۰	۰/۰۰۲۲

جدول ۲ - بهینه‌سازی نسبت مولی مونومر عاملی در سنتز پلیمر

نسبت مولی کل	جذب	نسبت مولی اتصال دهنده عرضی (mmol)	نسبت مولی مونومر عاملی (mmol)	نسبت مولی فولیک اسید (mmol)
۱۶:۲۰	۰/۰۷۰۰	۰/۰۳۶۱	۰/۰۰۶۰	۰/۰۰۲۲
۱۶:۲۰	۰/۰۵۰۰	۰/۰۳۶۱	۰/۰۰۸۰	۰/۰۰۲۲
۱۶:۲۰	۰/۰۸۰۰	۰/۰۳۶۱	۰/۰۱۰۰	۰/۰۰۲۲
۱۶:۲۰	۰/۱۲۰۰	۰/۰۳۶۱	۰/۰۱۲۰	۰/۰۰۲۲
۱۶:۲۰	۰/۱۰۰۰	۰/۰۳۶۱	۰/۰۱۴۰	۰/۰۰۲۲
۱۶:۲۰	۰/۰۷۰۰	۰/۰۳۶۱	۰/۰۱۶۰	۰/۰۰۲۲

اندازه‌گیری فولیک اسید در نمونه حقیقی قرص

برای بررسی توانایی پلیمر تهیه شده در اندازه‌گیری فولیک اسید در ماتریس پیچیده، از آن برای تعیین فولیک اسید در نمونه حقیقی قرص، با استفاده از روش افزایش استاندارد استفاده شد. به این منظور ابتدا ۱۰ عدد قرص فولیک اسید ۵ میلی‌گرمی را به صورت پودر در آورده و با یکدیگر مخلوط نموده، تا نمونه یکنواختی به دست آید. سپس محلول ۱/۰ µg فولیک اسید نمونه حقیقی دارو در ۴ بالون ۱۰ میلی‌لیتری به طور مجزا تهیه شد. پس از آن، سه محلول استاندارد فولیک اسید با غلظت‌های ۱۰، ۱۵ و ۲۰ µg از تهیه شده از فولیک اسید خالص، درون سه بالن حجمی ۱۰ میلی‌لیتر تهیه شدند. در انتهای ۴ بالون حجمی ۲۵ میلی‌لیتری انتخاب شد و به بالون ۱ تنها محلول ۱/۰ µg تهیه شده نمونه حقیقی در بالون ۱۰ میلی‌لیتر اضافه شد و با بافر مناسب به حجم رسانده شد. درون بالون ۲ محلول ۱/۰ µg تهیه شده نمونه حقیقی به محلول استاندارد ۱۰ µg اضافه شد و با بافر به حجم رسانده شد. به بالون ۳ محلول ۱/۰ µg نمونه حقیقی به محلول استاندارد ۱/۰ µg اضافه شد و با بافر مناسب به حجم رسانده شد. سرانجام به بالون ۴ نیز محلول ۱/۰ µg نمونه حقیقی به محلول استاندارد تهیه شده ۱/۰ µg افزوده شد و با بافر به حجم رسانده شد. پس از اتمام این مرحله‌ها، استخراج و بررسی محلول‌های تهیه شده با استفاده از دستگاه فلورسانس به طور مجزا انجام شد.

با نسبت‌های مولی ۱:۲۰ ثابت نگه داشته شدن و مقدار مونومر عاملی یعنی آکریل آمید تغییر داده شد.

بهینه‌سازی حلال شستشو شفاف فولیک اسید

برای شستشو شفاف فولیک اسید از درون شبکه پلیمری پنج حلال متانول، دی‌متیل‌فرم‌آمید، استیک‌اسید، آب و سود مورد بررسی قرار گرفتند. حالالی که منجر به خروج بیشتر مولکول‌های فولیک اسید از درون شبکه پلیمری شد به عنوان حلال بهینه شستشو شفاف انتخاب شد.

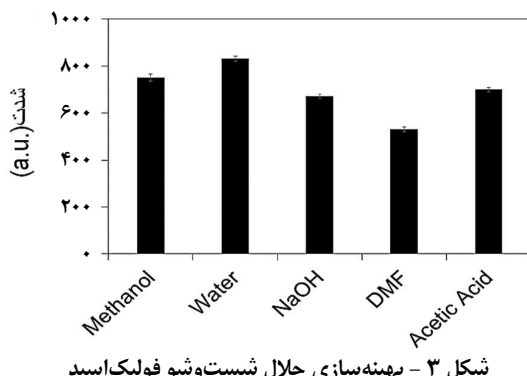
تهیه منحنی استاندارد جذب فولیک اسید

به منظور تهیه نمودار استاندارد، جذب محلول‌هایی با غلظت‌های گوناگون از فولیک اسید خالص در ۵۰ میلی‌لیتر حلال دی‌متیل‌فرم‌آمید در طول موج ۴۴۸ nm با دستگاه فلورسانس اندازه‌گیری شدن و نمودار استاندارد جذب و معادله مربوطه به دست آمد.

ازیابی ظرفیت اتصال پلیمر

ظرفیت جذب پلیمر به صورت μg یا میلی‌مول از مولکول هدف (فولیک اسید) جذب شده به ازای یک گرم از پلیمر گزارش می‌شود. در معادله $C = \frac{Q}{W} \times V$ ، C غلظت اولیه، V غلظت نهایی، W وزن پلیمر می‌باشد.

$$Q = (C^o - C) \times V/W \quad (1)$$



شکل ۳ - بهینه‌سازی حلال شستشو فولیک‌اسید

با نسبت‌های مولی ۱:۲۰ ثابت نگه داشته شدن و مقدار مونومر عاملی یعنی آکریل‌آمید تعییرداده شد. با توجه به نتیجه‌های بهدست آمده مقدار جذب در نسبت مولی ۱۶:۲۰ به عنوان مقدار بهینه انتخاب شد.

بهینه‌سازی حلال شستشو فولیک‌اسید

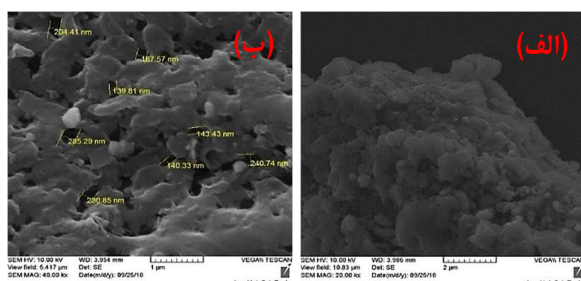
بیشترین مقدار خروج مولکول‌های فولیک‌اسید از درون شبکه پلیمری توسط حلال دی‌متیل‌فرم‌آمید صورت گرفت و هنگام استفاده از این حلال شدت پیک به حداقل مقدار خود رسید که این امر نشان‌دهنده شستشوی بهتر مولکول‌های فولیک‌اسید از درون شبکه پلیمری می‌باشد. حلال‌های سود و استیک‌اسید توانایی کمتری نسبت به حلال دی‌متیل‌فرم‌آمید برای شستشوی مولکول‌های فولیک‌اسید از خود نشان دادند. حلال‌های متانول و آب توانایی خیلی کمی برای خروج مولکول‌های فولیک‌اسید داشتند و هنگام استفاده از آن‌ها شدت پیک به بیشترین مقدار خود رسید که این امر نشان‌دهنده شستشوی کمتر مولکول‌های فولیک‌اسید از درون شبکه پلیمری است. نمودار بهینه‌سازی حلال شستشو فولیک‌اسید در شکل ۳ نمایش داده شده است.

نماینده منحنی استاندارد جذب فولیک‌اسید

برای بررسی و رسم منحنی استاندارد، غلظت‌های گوناگون محلول فولیک‌اسید $1\text{ }\mu\text{g}/\text{mL}$ تا $250\text{ }\mu\text{g}/\text{mL}$ تهیه شدن و استخراج آن‌ها با استفاده از پلیمر قالب‌گیری شده انجام شد و سپس میزان شدت پیک‌های محلول‌ها بررسی شد. با توجه به نتیجه‌های بهدست آمده، منحنی استاندارد رسم شد (شکل ۴ و ۵).

حد تشخیص

حد تشخیص (Limit of Detection) در واقع کمترین میزانی از نمونه می‌باشد که با روش مورد نظر قابل شناسایی و اندازه‌گیری است.



شکل ۲ - تصویر پلیمر قالب مولکولی پیش (الف) و پس (ب) از شستشو که توسط میکروسکوپ الکترونی روبشی گرفته شده است

نتیجه‌ها و بحث

تصویرهای میکروسکوپ الکترونی روبشی پلیمر قالب مولکولی تهیه شده پیش و پس از شستشو

ریخت‌شناسی پلیمر قالب مولکولی تهیه شده پیش و پس از شستشو توسط حلال مناسب با استفاده از میکروسکوپ الکترونی روبشی مورد بررسی قرار گرفت. مطابق شکل ۲، پلیمر قالب مولکولی تهیه شده پس از شستشو به علت خروج مولکول‌های فولیک‌اسید از درون شبکه پلیمری، دارای اندازه‌های ۱۴۰-۲۸۵ نانومتر می‌باشد. همان‌گونه که در تصویر الف مشخص است، پلیمر قالب‌گیری شده وقتی در محلول فولیک‌اسید قرار داده شود، مولکول‌های فولیک‌اسید، حفره‌های قالب‌گیری شده را اشغال کرده و در نتیجه در تصویر پلیمر حفره خالی مشاهده نمی‌شود، اما زمانی که پلیمر با حلال مناسب که توانایی حل کردن فولیک‌اسید را دارد شسته شود، مولکول‌های فولیک‌اسید از درون حفره‌ها خارج شده و حفره‌ها خالی می‌شوند (تصویر ب). قطر حفره‌ها برابر با قطر مولکول‌های قالب‌گیری شده (فولیک‌اسید) است.

بهینه‌سازی عامل‌های مؤثر بر سنتز پلیمر

بهینه‌سازی نسبت مولی اتصال‌دهنده عرضی در سنتز پلیمر به منظور بهینه‌سازی نسبت مولی اتصال‌دهنده عرضی در سنتز پلیمر، مطابق جدول ۱ مقدارهای فولیک‌اسید و مونومر عاملی آکریل‌آمید با نسبت‌های مولی ۱:۶ ثابت نگه داشته شد و مقدار اتصال‌دهنده عرضی اتیلن گلیکول دی‌متا‌اکریلات تغییر داده شد. با توجه به نتیجه‌های بهدست آمده مقدار جذب در نسبت مولی ۱۶:۲۰ به عنوان مقدار بهینه انتخاب شد.

بهینه‌سازی نسبت مولی مونومر عاملی در سنتز پلیمر

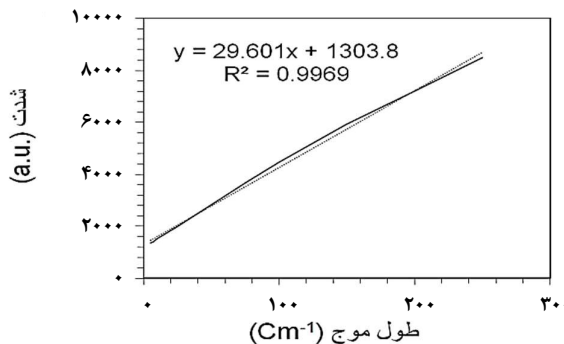
به منظور بهینه‌سازی نسبت مولی مونومر عاملی در سنتز پلیمر، مطابق جدول ۲ مقدارهای فولیک‌اسید و اتیلن گلیکول دی‌متا‌اکریلات

جدول ۳ - ارزیابی ظرفیت اتصال پلیمر

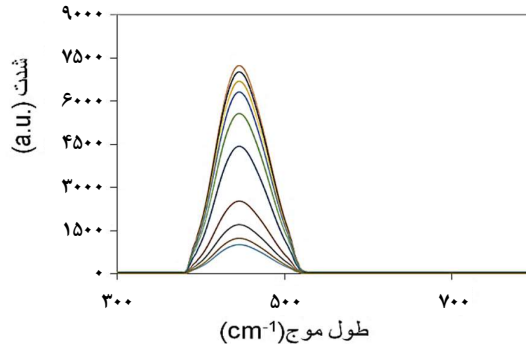
نوع پلیمر	غلظت پیش از بارگذاری ($\mu\text{g/l}$)	شدت پیش از بارگذاری	غلظت پس از بارگذاری ($\mu\text{g/l}$)	شدت پس از بارگذاری	ظرفیت (mg/g)
MIPs	۲۵	۲۵۴۶	۲۰/۰۶/۸۰۰۰	۲۰/۰۰۰۰	۲۵۰
MIPs	۵۰	۳۳۷۴	۴۰/۱۲/۸۷۰۰	۴۵/۳۲۰۰	۲۳۴
MIPs	۱۰۰	۴۹۷۴	۴۷۸۵/۰۹۰۰	۹۵/۸۰۰۰	۲۱۰
MIPs	۱۵۰	۶۹۵۸	۵۷۸۶/۳۲۰۰	۱۴۶/۳۲۰۰	۱۷۵
MIPs	۲۰۰	۷۳۴۲	۷۳۰۰/۹۱۰۰	۱۹۶/۰۵۰۰	۱۸۰
MIPs	۲۵۰	۷۸۷۶	۷۷۴۷/۷۴۰۰	۲۴۵/۹۶۰۰	۲۰۲

جدول ۴ - تعیین فولیک اسید در نمونه حقیقی قرص (n=۳)

ردیف	مقدار فولیک اسید ($\mu\text{g/l}$)	اضافه شده ($\mu\text{g/l}$)	بازیابی شده ($\mu\text{g/l}$)	درصد بازیابی (%)
۱	۲۰	۰	۱۸/۰±۸/۹۱۰۰	۹۴/۰۲۰۰٪
۲	۲۰	۱۰	۲۸/۰±۰/۲/۰۴۰۰	۹۴/۰۰۰۰٪
۳	۲۰	۱۵	۳۳/۰±۵۲/۷۳۰۰	۹۵/۰۸۰۰٪
۴	۲۰	۲۰	۳۶/۰±۰/۲/۶۵۰۰	۹۰/۰۵۰۰٪



شکل ۵ - تهیه منحنی استاندارد فولیک اسید



شکل ۶ - طیف فلورسانس غلظت‌های گوناگون فولیک اسید

پذیرفت. مقدار جذب محلول فیلتر شده پیش و پس از بارگذاری در طول موج ۴۴۸ nm اندازه‌گیری شد و نتیجه‌ها در جدول ۳ خلاصه شده است.

اندازه‌گیری فولیک اسید در نمونه حقیقی قرص

نتیجه هر آزمایش در اندازه‌گیری فولیک اسید در نمونه حقیقی قرص پس از سه مرتبه تکرار گزارش شده است (جدول ۴). نتیجه‌ها و داده‌های به دست آمده نشان می‌دهد که پلیمر تهیه شده کارایی بسیار خوبی برای تعیین فولیک اسید در نمونه‌هایی با ماتریس پیچیده (نمونه قرص) دارد.

در این پژوهش برای به دست آوردن حد تشخیص باید کمترین مقدار مولکول‌های فولیک اسید قابل اندازه‌گیری با استفاده از پلیمر قالب‌گیری شده تعیین شوند. برای به دست آوردن حد تشخیص ۵ بار استخراج از محلول‌های مرتع (شاهد) که قادر مولکول‌های فولیک اسید هستند، انجام شد و جذب شاهد در طول موج نمونه خوانده شد. مقدار حد تشخیص با استفاده از دستگاه فلورئورسانس ۰/۶۵ ppb می‌باشد. برای محاسبه مقدار حد تشخیص می‌توان از معادله ۲ استفاده کرد. (m) حساسیت و S_b سیگنال مربوط به شاهد می‌باشد.

$$\text{LOD} = \frac{3S_b}{m} \quad (2)$$

قابلیت استفاده مجدد

یکی از برتری‌های پلیمر تهیه شده، قابلیت استفاده مجدد آن می‌باشد. به این ترتیب که پس از هر بار استفاده از آن و اندازه‌گیری

ارزیابی ظرفیت اتصال پلیمر

مقدار پلیمر و حجم محلول در هر بارگذاری به ترتیب ۱۰ میلی‌گرم و ۵۰ میلی‌لیتر بوده و بارگذاری به مدت ۱ ساعت در دمای اتاق انجام

جدول ۵ - مقایسه روش مورد بررسی در این پژوهش و روش‌های دیگر برای اندازه‌گیری فولیک اسید

روش مورد بررسی برای شناسایی	سال پژوهش	نام روش	حد تشخیص (ppb)	دامنه خطی (ppb)	مرجع
اسپکتروسکوپی	۲۰۲۰	استفاده از دستگاه UV-Visible	۰/۰۱۱	۱-۲۵	۴
کروماتوگرافی مایع با عملکرد بالا	۲۰۲۰	میکرواستخراج مایع- مایع	$۴/۸ \times 10^{-۶}$	$۱/۶ \times 10^{-۵} - ۱/۶ \times 10^{-۴}$	۱۵
الکتروشیمی	۲۰۲۰	ولتاوری پاسی تفاضلی	۰/۳۵۳	۱/۳۲۴ - ۱۱۰۳۵۰	۱۶
فلورسانس	۲۰۲۰	استفاده از طیف فلورسانس کوانتم داتها	۱۲۳/۵۹۲	۱۳۲/۴۲۰ - ۴۴۱/۴	۱۷
کار حاضر	۲۰۲۱	سل-ژل	%	۲۰ - ۲۵۰	

جداسازی، تصفیه آب، استخراج مواد شیمیایی و شیمی محیط زیست راه یافته است. با استفاده از روش قالب‌گیری مولکولی می‌توان داروها، ویتامین‌ها و مولکول‌های زیستی را قالب‌گیری کرد و به این ترتیب روشی آسان، سریع و دقیق برای اندازه‌گیری این ترکیب‌ها ارایه کرد. همچنین پلیمر تهیه شده با این روش مقرون به صرفه است و قابلیت استفاده مجدد را دارد. مطابق نتیجه‌های به دست آمده از این پژوهش با استفاده قالب‌گیری به روش سل-ژل فولیک اسید با دقت و به سرعت اندازه‌گیری شد. در دهه گذشته در کشور ما نیز این فناوری مورد توجه ویژه پژوهشگران قرار گرفته و امید است که شاهد پیشرفت‌های چشمگیری در این زمینه باشیم.

فولیک اسید، پلیمر را ابتدا با حلال دی‌متیل فرم‌آمید شست و شو داده تا مولکول‌های فولیک اسید از درون حفره‌ها فالبگیری شده خارج شوند. سپس پلیمر را به ترتیب با استون، اتانول و آب مقطر شست و شو داده و در دمای محیط خشک می‌شود تا آماده استفاده مجدد شود.

مقایسه با سایر روش‌ها

در این پژوهش، روشی نوین برای شناسایی و اندازه‌گیری فولیک اسید مورد بررسی قرار گرفت و با سایر روش‌هایی که برای شناسایی این ترکیب در سال‌های گذشته انجام شده است، مقایسه شد.

نتیجه‌گیری

امروزه رشد مقاله‌ها در زمینه پلیمرهای قالب‌گیری شده به سرعت در حال افزایش است و این فناوری در زمینه‌های گوناگونی مانند داروسرانی، داروسازی، ساخت حسگرهای شیمیایی و زیستی،

مراجع

- [1] Levine S.Z., et al., *Association of Maternal use of Folic Acid and Multivitamin Supplements in the Periods Before and During Pregnancy with the Risk of Autism Spectrum Disorder in Offspring, JAMA psychiatry, 75(2): 176-184 (2018).*
- [2] Beitollahi H., Ghofrani Ivari S., Torkzadeh-Mahani M., *Voltammetric Determination of 6-Thioguanine and Folic Acid using a Carbon Paste Electrode Modified with ZnO-CuO Nanoplates and Modifier, Materials Science and Engineering: C 69: 128-133 (2016).*
- [3] Li H., et al., *In Vivo Near Infrared Fluorescence Imaging and Dynamic Quantification of Pancreatic Metastatic Tumors using Folic Acid Conjugated Biodegradable Mesoporous Silica Nanoparticles, Nanomedicine: Nanotechnology, Biology and Medicine, 14(6): 1867-1877 (2018).*
- [4] Modupe O., Maurras J.B., Diosady L.L., *A Spectrophotometric Method for Determining the Amount of Folic Acid in Fortified Salt, Journal of Agriculture and Food Research, 2: 100060 (2020).*

- [5] Farajzadeh M.A., Niazi S., Sattari Dabbagh M., Development of Dispersive Solid Phase Extraction Utilizing Folic Acid as an Efficient and Green Sorbent Followed by Dispersive Liquid–Liquid Microextraction for the Extraction of Some Plasticizers from Aqueous Samples, *Journal of Separation Science*, **43(23)**: 4314-4321 (2020).
- [6] Cinková K., et al., Simple and Rapid Quantification of Folic Acid in Pharmaceutical Tablets using A Cathodically Pretreated Highly Boron-Doped Polycrystalline Diamond Electrode, *Analytical Letters*, **49(1)**: 107-121 (2016).
- [7] Wang F., et al., Simple Coupled Ultrahigh Performance Liquid Chromatography and ion Chromatography Technique for Simultaneous Determination of Folic Acid and Inorganic Anions in Folic Acid Tablets, *Food chemistry*, **239**: 62-67 (2018).
- [8] Matias R., et al., A UV Spectrophotometric Method for the Determination of Folic Acid in Pharmaceutical Tablets and Dissolution Tests, *Analytical Methods* **6(9)**: 3065-3071 (2014).
- [9] Shaikshavali P., et al., Fabrication, Characterization and Application of Poly (L-Cystine)/multi Walled Carbon Nanotubes Modified Glassy Carbon Electrode towards the Simultaneous Determination of Dopamine in presence of Uric Acid and Folic Acid, *ANALYTICAL & BIOANALYTICAL ELECTROCHEMISTRY*, **9(7)**: 940-955, (2017).
- [10] فرجی م، آزادنیا ا، خسروی دارانی ک، استخراج و اندازه‌گیری فولیک اسید در نان غنی شده، نشریه شیمی و مهندسی شیمی ایران، (۳۲)۱۱: ۱۱۹۲ (۱۳۹۲).
- [11] Li C., Yang Q., Wang X., Arabi M., Peng H., Li J., ... & Chen L., Facile Approach to the Synthesis of Molecularly Imprinted Ratiometric Fluorescence Nanosensor for the Visual Detection of Folic Acid, *Food chemistry*, **319**: 126575 (2020).
- [12] Mori K., Hirase M., Morishige T., Takano E., Sunayama H., Kitayama Y., ... & Takeuchi T., A Pretreatment-Free, Polymer-Based Platform Prepared by Molecular Imprinting and Post-Imprinting Modifications for Sensing Intact Exosomes, *Angewandte Chemie International Edition*, **58(6)**: 1612-1615 (2019).
- [13] Sensoy K.G., Muti M., Karagözler A.E., Highly Selective Molecularly Imprinting Polymer-based Sensor for the Electrochemical Determination of Metoxuron, *Microchemical Journal*, **158**: 105178 (2020).
- [14] Bakas I., et al. Electrochemical Impedimetric Sensor based on Molecularly Imprinted Polymers/Sol–Gel Chemistry for Methidathion Organophosphorous Insecticide Recognition, *Talanta*, **130**: 294-298130 (2014).
- [15] Faraji M., Mahmoodi-Maymand M., Dastmalchi F., Green, Fast and Simple Dispersive Liquid-Liquid Microextraction Method by using Hydrophobic Deep Eutectic Solvent for Analysis of Folic Acid in Fortified Flour Samples before Liquid Chromatography Determination, *Food chemistry*, **320**: 126486 (2020).

- [16] Sadeghi H., Shahidi S.A., Naghizadeh Raeisi S., Ghorbani-HasanSaraei A., Karimi F., Electrochemical Determination of Folic Acid in Fruit Juices Samples Using Electroanalytical Sensor Amplified with CuO/SWCNTs and 1-Butyl-2, 3-dimethylimidazolium Hexafluorophosphate, *Chemical Methodologies*, **4(6)**: 743-753 (2020).
- [17] Li W., Zhang X., Miao C., Li R., Ji Y., [Fluorescent Paper-based Sensor based on Carbon Dots for Detection of Folic Acid](#), *Analytical and bioanalytical chemistry*, **412**: 2805-2813 (2020).